

复系统 Julia 集的同步*

刘树堂 张永平†

(山东大学控制科学与工程学院, 济南 250061)
(2007 年 5 月 13 日收到, 2007 年 5 月 20 日收到修改稿)

非线性系统中的分形集——Julia 集, 在工程技术中有着十分重要的应用. 定义了不同系统间的 Julia 集同步的概念, 并引入一种非线性耦合的方法, 对同一系统不同参数的 Julia 集进行了有效的同步. 并以多项式形式和三角函数形式的 Julia 集同步为例验证了该方法的有效性.

关键词: Julia 集, 同步, 分形

PACC: 0545, 0555

1. 引言

自分形诞生以来, 它以自身独特的性质为生物学、物理学等众多领域中的许多复杂现象给予了更好的理解和解释^[1-5]. 法国数学家 Gaston Julia 研究复映射迭代时得到的 Julia 集是分形理论中一个重要的概念^[6], 被广泛的应用到物理、生物、工程等领域^[7,8]. 它是非线性领域中一个重要的研究课题, 如基于粒子的动力学特征探讨广义 M-J 集的物理意义, 发现广义 M-J 集的分形结构特征可形象地反映出粒子速度的变化规律, 并指出对于系统

$$z_{n+1} = z_n^q + c$$

的任意 c 值(其中 c 为复数, $q > 1$), 广义 Julia 集给出了速度空间中粒子的所有可能的不稳定周期轨道的闭包^[9]. 如 $c \rightarrow 0$ 时, 粒子的速度绝对值为 $v = 1$, 并在下面图 1 给出的势垒顶端作不稳定旋转运动.

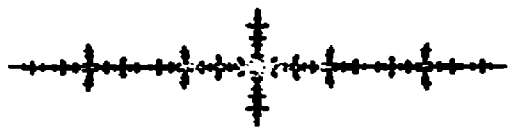


图 1 当 $c \rightarrow 0, v = 1, q = 2$ 时, 粒子的不稳定旋转运动

值得注意的是, 非线性系统中的 Julia 集所描述的是一个重要的非线性系统. 根据客观的要求, 我们往往需要制约非线性吸引域的区域大小以及根据

技术问题的实际要求, 有时需要不同的两个系统表现出相同或近似的行为和性能. 但十分遗憾的是到目前为止对于分形中 Julia 集的研究仅仅是涉及它的性质和图形的制作问题^[10,11], 而对于两个系统间的 Julia 集的讨论是一个目前还没有涉及的新的研究领域.

本文给出了不同系统间的 Julia 集的同步的概念, 并引入一种非线性耦合的方法, 对同一系统不同参数的 Julia 集进行了有效的同步. 并以多项式形式和三角函数形式的 Julia 集同步为例验证了该方法的有效性.

2. 基本理论

混沌同步一直是备受关注的课题, 人们在这方面做了大量的工作, 采用各种方法实现混沌同步^[12-17]. 而广义同步控制是混沌控制的一个重要方法. 一般地, 考虑两个动力学系统:

$$\frac{dX}{dt} = F(X; Y),$$
$$\frac{dY}{dt} = G(X; Y),$$

其中 t 为时间, F, G 可以是不同的函数, $X \in R^m, Y \in R^m$, 令 $X(t; t_0, X_0)$ 和 $Y(t; t_0, Y_0)$ 分别为两系统的解. 如果存在 R^m 的子集 $D(t_0), X_0, Y_0 \in D(t_0)$ 使得当 $t \rightarrow \infty$ 时, 有

* 国家自然科学基金(批准号 60472112)和全国百篇优秀博士学位论文专项基金(批准号 200444)资助的课题.

† 通讯联系人. E-mail: ypzhangsd@126.com

$$\| X(t; t_0, X_0) - Y(t; t_0, Y_0) \| \rightarrow 0.$$

则称 $dX/dt = F(X; Y)$ 和 $dY/dt = G(X; Y)$ 同步, 如果 $D(t_0) = R^m$, 则称为全局 (完全) 同步; 如果 $D(t_0)$ 是 R^m 的一个子集, 即 $D(t_0) \subset R^m$, 则称为局部 (部分) 同步. 称 $D(t_0)$ 为同步区域. 全局同步和局部同步属于通常意义下的同步, 即

$$X(t; t_0, X_0) = Y(t; t_0, Y_0).$$

当 $X(t; t_0, X_0) = \varphi(Y(t; t_0, Y_0))$ (其中 φ 为某种函数关系) 称这种类型的同步为广义混沌同步. 通常意义下的同步 (φ 为恒等变换) 为广义混沌同步一种特例.

Julia 集由一个复变函数 f 的迭代生成, 其 Julia 集 $J(f)$ 可以定义为 f 的斥性周期点集的闭包. 利用 Montel 定理, 可以证明下面的对于复变多项式 f 的 Julia 集的等价定义:

$$J(f) = J_0(f) = \{z \in C \mid \text{函数族 } \{f^k\}_{k \geq 0} \text{ 在 } z \text{ 非正规}\}.$$

对复变多项式 f , 其 Julia 集具有下面的一些性质:

- (i) $J(f)$ 是非空有界的;
- (ii) $J(f)$ 是全不变的, 即 $J(f) = f(J(f)) = f^{-1}(J(f))$;
- (iii) 对每一个正整数 p , $J(f) = J(f^p)$;
- (iv) 若 w 是 f 的吸引不动点, 则 $\partial A(w) = J(f)$, 其中 $A(w)$ 是吸引不动点 w 的吸引域, 即 $A(w) = \{z \in C \mid f^k(z) \rightarrow w (k \rightarrow \infty)\}$.

本文讨论的是复数域上系统间的 Julia 集的同步或广义同步情况, 根据 Julia 集的定义, 给定一组系统参数, 其相应的 Julia 集是确定的不变的, 这样就使得 Julia 集的同步或广义同步的定义与混沌同步或广义同步有所不同.

给定两个复数域上的系统:

$$x_{n+1} = f(x_n), \tag{1}$$

$$y_{n+1} = g(y_n), \tag{2}$$

当系统参数给定后, 其对应的 Julia 集也确定, 不妨分别设为 J^* , J . 为了使系统 (1) 与 (2) 的 Julia 集关联起来, 我们对系统 (1) 和 (2) 进行耦合. 在系统 (2) 中引入耦合项:

$$y_{n+1} = g(y_n) + p(x_n, y_n; k), \tag{3}$$

其中 p 为关于 x_n, y_n 的耦合项, k 为耦合强度. 显然, 在耦合系统 (3) 中当系统参数给定后, 对不同的 k 值对应着不同的 Julia 集, 记为 J_k . 如果对某常数 k_0 (k_0 可为 ∞), 有

$$\lim_{k \rightarrow k_0} (J_k \cup J^* - J_k \cap J^*) = \emptyset \tag{4}$$

成立, 则称系统 (1) 与 (2) 的 Julia 集实现同步.

从 Julia 集同步的定义可以看出, 我们是取耦合强度 k 的极限来定义 Julia 集同步的概念的. 事实上, 由 Julia 集的定义我们知道 Julia 集 $J(f)$ 与 f 的轨道是紧密相关的, 本文就是利用轨道的同步来实现 Julia 集同步的. 在轨道同步中, k 的变化体现了轨道同步的状况, 这恰好在耦合系统 (3) 中体现为其 Julia 集 J_k 的变化同步情况, 其中我们取系统 (1) 和 (2) 的相同的迭代初始值.

3. Julia 集同步的实现

在 (3) 式中取耦合项:

$$p(x_n, y_n; k) = k[f(x_n) - g(y_n)],$$

则有

$$y_{n+1} = g(y_n) + k[f(x_n) - g(y_n)]. \tag{5}$$

显然当 $k = 1$ 时, 系统 (5) 则变为系统 (1). 由 (1), (5) 式有

$$x_{n+1} - y_{n+1} = (1 - k)[f(x_n) - g(y_n)]. \tag{6}$$

3.1. 多项式系统的 Julia 集的同步实现

当系统为复变多项式时, 由前面所述的性质 (i), 可知其 Julia 集可通过迭代计算一个有界区域内的点得到, 设该有界区域为 D , 则只需考虑 D 中点的迭代. 另外, 由性质 (ii) 可知只需计算迭代轨道均在 D 中的点, 这是因为若存在 n_0 使得 $f^{n_0}(z) \notin D$, 则由性质 (ii) 知 $z \notin J$. 因 D 为有界区域, 所以存在 $M > 0$, 使得 $\forall z \in D, |z| < M$.

以典型的复变多项式 $z_{n+1} = z_n^q + c$ 为例, 讨论该系统当取不同参数时的 Julia 集的同步情况. 比如在系统 (1) (2) 中取复变多项式 $f(x_n) = x_n^q + c_1$, $g(y_n) = y_n^q + c_2$, 这里 $c_1 \neq c_2$. 为讨论方便, 取 $q = 3$. 由 (6) 式, 有

$$\begin{aligned} & x_{n+1} - y_{n+1} \\ &= (1 - k)[x_n^3 - y_n^3 + c_1 - c_2] \\ &= (1 - k)[(x_n^2 + x_n y_n + y_n^2)(x_n - y_n) + c_1 - c_2]. \end{aligned}$$

因此

$$\begin{aligned} & |x_{n+1} - y_{n+1}| \\ &\leq |1 - k| (3M^2 |x_n - y_n| + |c_1 - c_2|) \\ &= |1 - k| [3M^2 |x_n - y_n| + |1 - k| |c_1 - c_2|] \\ &\leq |1 - k| [3M^2 (|1 - k| 3M^2 |x_{n-1} - y_{n-1}| \\ &\quad + |1 - k| |c_1 - c_2|) + |1 - k| |c_1 - c_2|] \\ &= (|1 - k| 3M^2)^n |x_{n-1} - y_{n-1}| \\ &\quad + (1 + |1 - k| 3M^2) |1 - k| |c_1 - c_2| \end{aligned}$$

$$\begin{aligned} &\leq \dots \\ &\leq (|1 - k| 3M^2)^n |x_1 - y_1| \\ &\quad + (1 + \dots + (|1 - k| 3M^2)^{n-1}) |1 - k| |c_1 - c_2| \\ &= (1 + \dots + (|1 - k| 3M^2)^n) |1 - k| |c_1 - c_2| \\ &= \frac{1 - (|1 - k| 3M^2)^{n+1}}{1 - |1 - k| 3M^2} |1 - k| |c_1 - c_2|. \quad (7) \end{aligned}$$

当 $|1 - k| 3M^2 < 1$ 时 (7) 式右端趋于 $|1 - k| |c_1 - c_2| / (1 - |1 - k| 3M^2)$ ($n \rightarrow \infty$). 显然, 此时若 $|1 - k| \rightarrow 0$, 即 $k \rightarrow 1$ 则有

$$|x_{n+1} - y_{n+1}| \rightarrow 0.$$

从而系统 (1) 与 (5) 实现轨道同步. 由前面所分析,

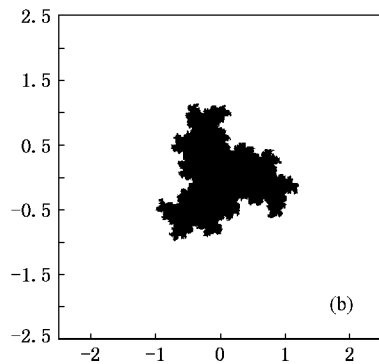
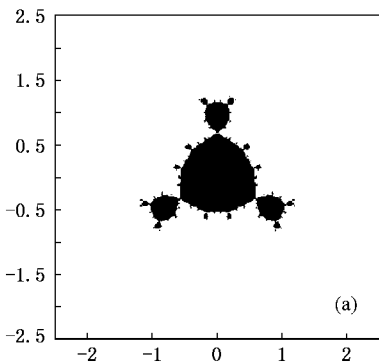


图 2 $q = 3$ 时系统的初始 Julia 集 (a) $c_2 = i$; (b) $c_1 = -0.5 + 0.4i$

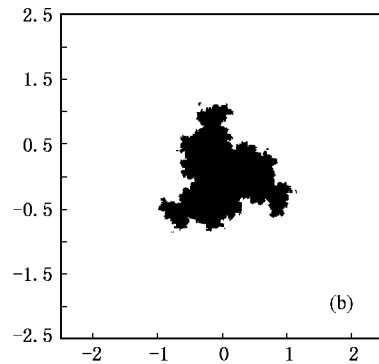
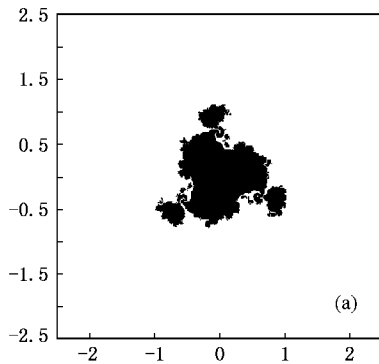


图 3 随 k 值的变化系统 Julia 集的同步情况 (a) $k = 0.2$ (b) $k = 0.3$

上面分析的是多项式形式映射的 Julia 集的同步, 事实上, 该方法对其他形式映射的 Julia 集的同步也是有效的.

3.2. 三角函数的 Julia 集的同步实现

以正弦函数为例分析该类 Julia 集的同步情况.

取 $f(x_n) = c_1 \sin x_n$, $g(y_n) = c_2 \sin y_n$. 由 (6) 式有

$$x_{n+1} - y_{n+1} = (1 - k) [c_1 (\sin x_n - \sin y_n) + (c_1 - c_2) \sin y_n].$$

又

$$|\sin x_n - \sin y_n| = \left| 2 \cos \frac{x_n + y_n}{2} \sin \frac{x_n - y_n}{2} \right|$$

可知此时满足 (4) 式, 即实现了系统 (1) 与 (5) 的 Julia 集的同步.

在 $k \rightarrow 1$ 的过程中, 由 (7) 式可以看出耦合系统的耦合程度, 即轨道实现同步的程度, 从而也是耦合系统的 Julia 集的同步程度. 这从下面的仿真图 2 和图 3 可看出.

例 1 在系统 (1) (2) 中取

$$f(x_n) = x_n^q + c_1, g(y_n) = y_n^q + c_2$$

图 2 为初始 Julia 集, 图 3 为系统随 k 的变化其 Julia 集广义同步情况. (图中坐标系的横轴与纵轴分别表示复数的实部与虚部, 下同.)

$$\begin{aligned} &\leq 2 \left| \sin \frac{x_n - y_n}{2} \right| \\ &\leq 2 \left| \frac{x_n - y_n}{2} \right| = |x_n - y_n|. \end{aligned}$$

因此

$$\begin{aligned} &|x_{n+1} - y_{n+1}| \\ &\leq |(1 - k)c_1| |x_n - y_n| + |1 - k| |c_1 - c_2| \\ &\leq |(1 - k)c_1| (|(1 - k)c_1| |x_{n-1} - y_{n-1}| \\ &\quad + |1 - k| |c_1 - c_2|) + |1 - k| |c_1 - c_2| \\ &= |(1 - k)c_1|^2 |x_{n-1} - y_{n-1}| \\ &\quad + (1 + |(1 - k)c_1|) |1 - k| |c_1 - c_2| \end{aligned}$$

$$\begin{aligned} &\leq \dots \\ &\leq |(1-k)c_1|^n |x_1 - y_1| \\ &\quad + (1 + \dots + |(1-k)c_1|^{n-1}) |1-k| |c_1 - c_2| \\ &\leq |(1-k)c_1|^n |1-k| |c_1 - c_2| \\ &\quad + (1 + \dots + |(1-k)c_1|^{n-1}) |1-k| |c_1 - c_2| \\ &= |1-k| |c_1 - c_2| (1 + \dots + |(1-k)c_1|^{n-1}) \\ &= |1-k| |c_1 - c_2| \frac{1 - |(1-k)c_1|^{n+1}}{1 - |(1-k)c_1|}. \quad (8) \end{aligned}$$

当 $|(1-k)c_1| < 1$ 时, (8) 式右端趋于 $|1-k| |c_1 - c_2| / (1 - |(1-k)c_1|)$ ($n \rightarrow \infty$). 显然, 此时若 $|1-k| \rightarrow 0$, 即 $k \rightarrow 1$, 则有

$$|x_{n+1} - y_{n+1}| \rightarrow 0.$$

从而系统 (1) 与 (5) 实现轨道同步. 由前面所分析, 可知此时满足 (4) 式, 即实现了系统 (1) 与 (5) 的 Julia 集的同步.

在 $k \rightarrow 1$ 的过程中, 由 (8) 式可以看出耦合系统的耦合程度, 即轨道实现同步的程度, 从而也是耦合系统的 Julia 集的同步程度. 这从下面的仿真图 4 和图 5 可看出.

例 2 在 $f(x_n) = c_1 \sin x_n, g(y_n) = c_2 \sin y_n$ 中分别取参数 $c_1 = 1, c_2 = i$. 图 4 为初始 Julia 集, 图 5 为系统随 k 的变化其 Julia 集同步情况.

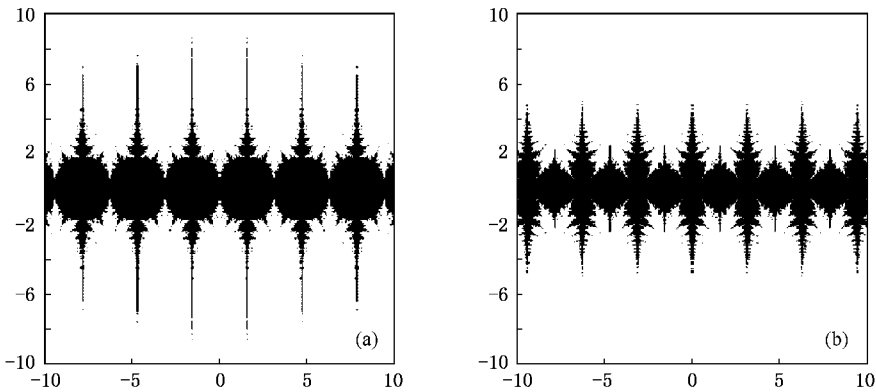


图 4 系统的初始 Julia 集 (a) $c_1 = 1$; (b) $c_2 = i$

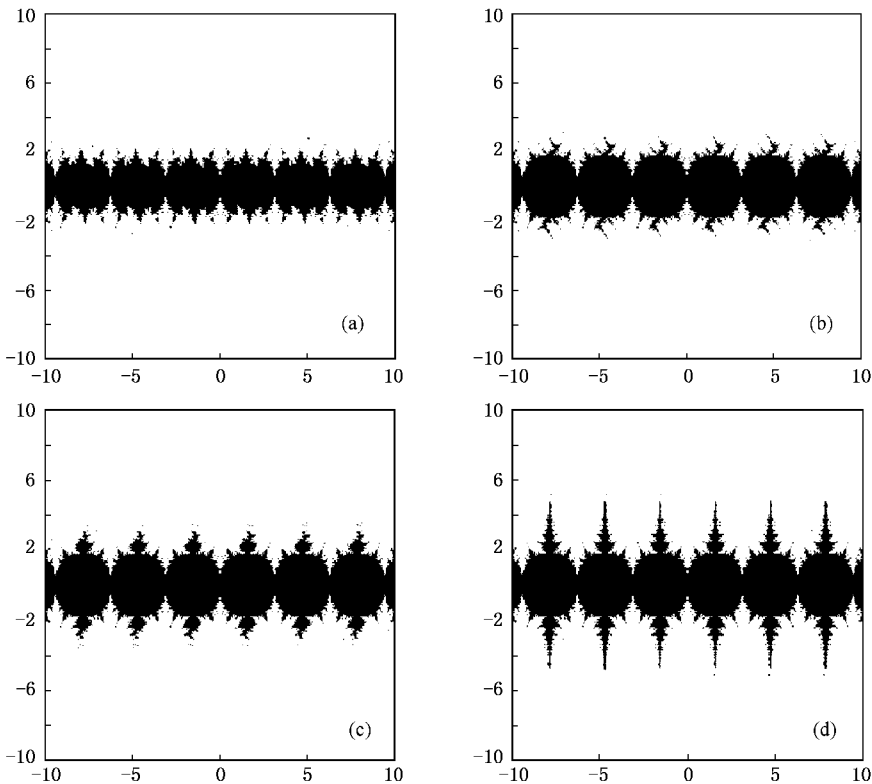


图 5 随 k 值的变化系统 Julia 集的同步情况 (a) $k = 0.1$; (b) $k = 0.4$; (c) $k = 0.6$; (d) $k = 0.9$



由(5)式可有

$$y_{n+1} = (1 - k)g(y_n) + kf(x_n),$$

可以看出随 k 的增大,在迭代中起主导作用的是后部分数值 $kf(x_n)$. 当 $k = 1$ 时,系统(5)已成为系统(1),此时两系统的 Julia 集完全相同. 由例 1,例 2 的仿真图我们可以清楚的看到引入耦合项的系统(5)的 Julia 集的变化情况,随 k 值的不断增大($k \rightarrow 1$),系统(5)的 Julia 集越来越近似系统(1)的 Julia 集,即有 $\lim_{k \rightarrow 1} J_k = J^*$,从而实现了两个系统的 Julia 集的同步. 同时也说明我们所取的该非线性耦合的方法在进行 Julia 集同步时的有效性.

4. 结 论

Julia 集是由一个复变函数的迭代生成的,是斥性周期点的闭包,它是分形理论中一个重要的概念,在非线性系统中有着广泛的应用. 本文给出了两个不同系统的 Julia 集同步的概念,并采用非线性耦合的方法,分别以多项式形式和三角函数形式的不同参数的系统的 Julia 集进行了同步. 仿真表明我们的方法是可行的、有效的,这将有助于对 Julia 集以及它的应用做进一步的讨论.

- [1] Halsey T C, Jensen M H, Kadanoff L P, Procaccia I, Shraiman B J 1986 *Phys. Rev. A* **33** 1141
- [2] Li Y, Kong X M, Huang J Y 2002 *Acta Phys. Sin.* **51** 1346 (in Chinese) [李 英、孔祥木、黄家寅 2002 物理学报 **51** 1346]
- [3] Yu H S, Sun X, Luo S F, Wang Y R, Wu Z Q 2002 *Acta Phys. Sin.* **51** 999 (in Chinese) [于会生、孙 霞、罗守福、王永瑞、吴自勤 2002 物理学报 **51** 999]
- [4] He T, Zhou Z O 2007 *Acta Phys. Sin.* **56** 693 (in Chinese) [贺 涛、周正欧 2007 物理学报 **56** 693]
- [5] Sun X, Wu Z Q 2001 *Acta Phys. Sin.* **50** 2126 (in Chinese) [孙 霞、吴自勤 2001 物理学报 **50** 2126]
- [6] Falconer K 1990 *Fractals Geometry Mathematical Foundations and Applications* (New York: Wiley)
- [7] Rammal R 1984 *J. de Phys.* (Paris) **45** 191
- [8] Biskup M, Borgs C, Chayes J, Kleinwaks, Kotecký R 2000 *Phys. Rev. Lett.* **84** 4794
- [9] Wang X Y, Meng Q Y 2004 *Acta Phys. Sin.* **53** 388 (in Chinese) [王兴元、孟庆业 2004 物理学报 **53** 388]
- [10] Li S 2000 *In: 5th International Conference on Signal Processing Proceeding* (Beijing: Publishing House Electronic Industry) p285
- [11] Lakhtakia A 1987 *J. Phys. A* **20** 3533
- [12] Shan L, Li J, Wang Z Q 2006 *Acta Phys. Sin.* **55** 3950 (in Chinese) [单 梁、李 军、王执铨 2006 物理学报 **55** 3950]
- [13] Liu Z Z, Tian Y T, Song Y 2006 *Acta Phys. Sin.* **55** 3945 (in Chinese) [刘振泽、田彦涛、宋 彦 2006 物理学报 **55** 3945]
- [14] Min F H, Wang Z Q 2005 *Acta Phys. Sin.* **54** 4026 (in Chinese) [闵富红、王执铨 2005 物理学报 **54** 4026]
- [15] Kocarev L, Parlitz U 1996 *Phys. Rev. Lett.* **77** 2206
- [16] Kocarev L, Parlitz U 1996 *Phys. Rev. Lett.* **76** 1816
- [17] Hu G, Qu Z L 1994 *Phys. Rev. Lett.* **72** 68

Synchronization of Julia sets of complex systems^{*}

Liu Shu-Tang Zhang Yong-Ping[†]

(*School of Control Science and Engineering , Shandong University , Jinan 250061 , China*)

(Received 13 May 2007 ; revised manuscript received 20 May 2007)

Abstract

Julia set , being a fractal set in the literature of nonlinear physics , has significance for the engineering applications . In this work , we are the first to define the synchronization of Julia sets between different systems and introduce a nonlinear coupling method to realize the synchronization of Julia sets of the same systems but with different parameters . We also illustrate the effectiveness of our method by the synchronization of Julia sets of polynomial and trigonometric functions respectively .

Keywords : Julia set , synchronization , fractals

PACC : 0545 , 0555

^{*} Project supported by the National Natural Science Foundation of China (Grant No. 60472112) and a Foundation for the Author of National Excellent Doctoral Dissertation of China (FANEDD)(Grant No. 200444) .

[†] Corresponding author. E-mail : ypzhangsd@126.com